

Zakład Badawczo Leczniczy Chorób Nerwowo – Mięśniowych  
Instytut Medycyny Doświadczalnej i Klinicznej PAN  
ul. Pawińskiego 5, 02-106 Warszawa  
Tel/ fax /4822/ 608 65 26

Badanie wycinka mięśniowego w mikroskopie świetlnym i elektronowym

Nr: 24/13

Imię i nazwisko :

Wiek: 32

Rozpoznanie: Podejrzenie miopatii

Data pobrania wycinka: 20 V 2013r.

Mięsień: quadriceps sin.

Barwienie: H-E, trichrom Gomoriego, DHB, DHM, DPNH, ATP-azy

W pobranym wycinku włókna mięśniowe o różnej średnicy - przerosłe, zanikłe i prawidłowe tworzą pęczki oddzielone zwiększoną ilością tkanki łącznej struktura włókien wykazuje szereg zmian jak homogenizację rozszczepienie włókien, pojedyncze martwice wyraźny przerost tkanki łącznej w perimysium. Podział włókien na typy metaboliczne zachowany ze znaczną przewagą włókien typu 1. Włókna wyraźnie mniejsze wykazują enzymatykę typu 1. Niektóre włókna wykazują przerzedzenie aktywności enzymu diaforazy.

Wnioski: cechy uszkodzenia pierwotnie mięśniowego wymagają oceny ultrastrukturalnej.

Analiza ultrastrukturalna wykazała zmiany w strukturze mitochondriów włókien typu 1, ubytek grzebieni mitochondrialnych, tworzeniem mielinowych struktur w obrębie interioru mitochondrialnego mogą sugerować miopatię mitochondrialną.



Przypadek: Nr 24/13 (29/13 ME)

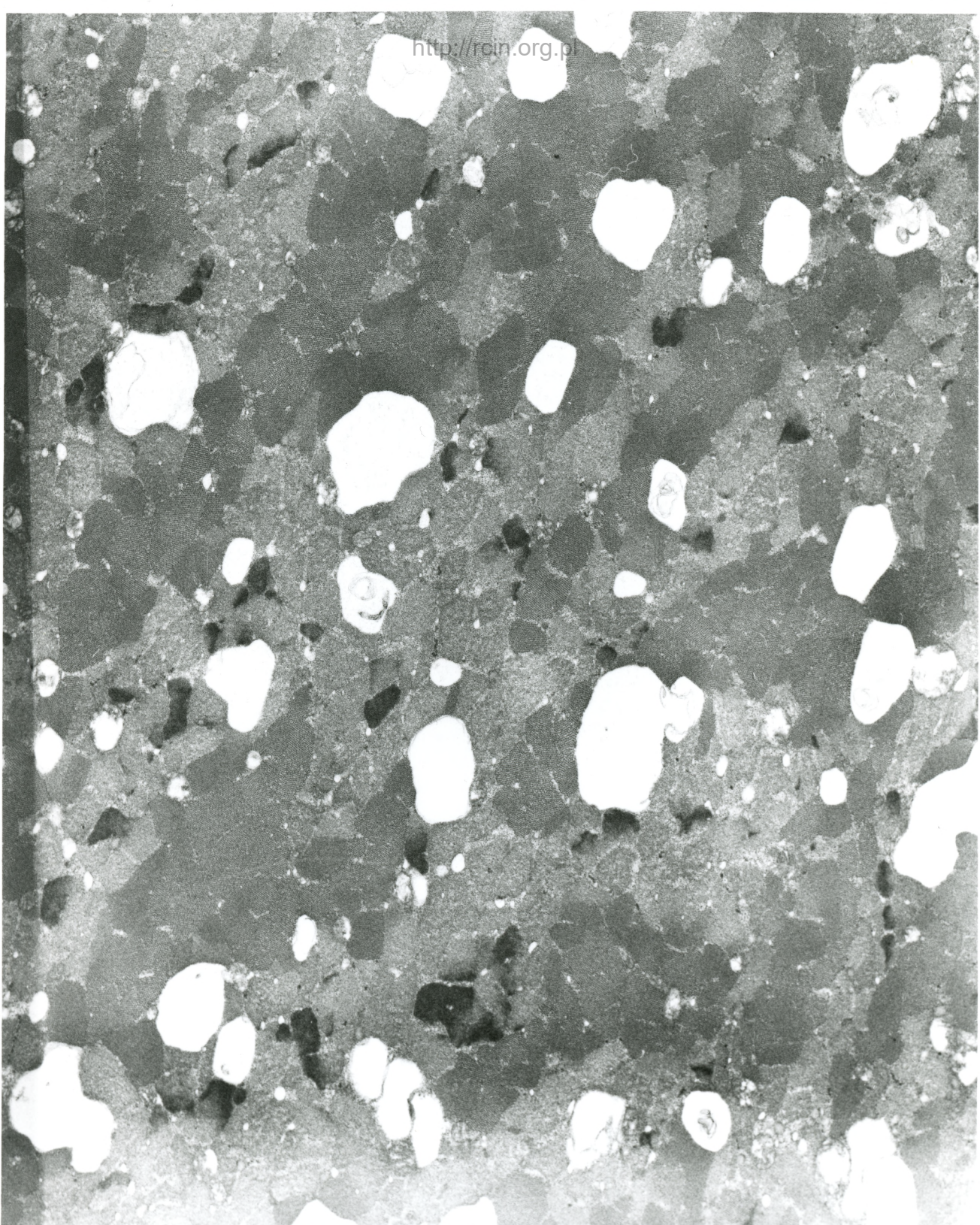
Rozpoznanie: Podejrzenie miopatii

Fig. 1-5. Zmiany w obrębie mitochondriów objawiające się ubytkiem grzebieni mitochondrialnych

Fig. 6-7. Struktury mielino-podobne w obrębie mitochondriów

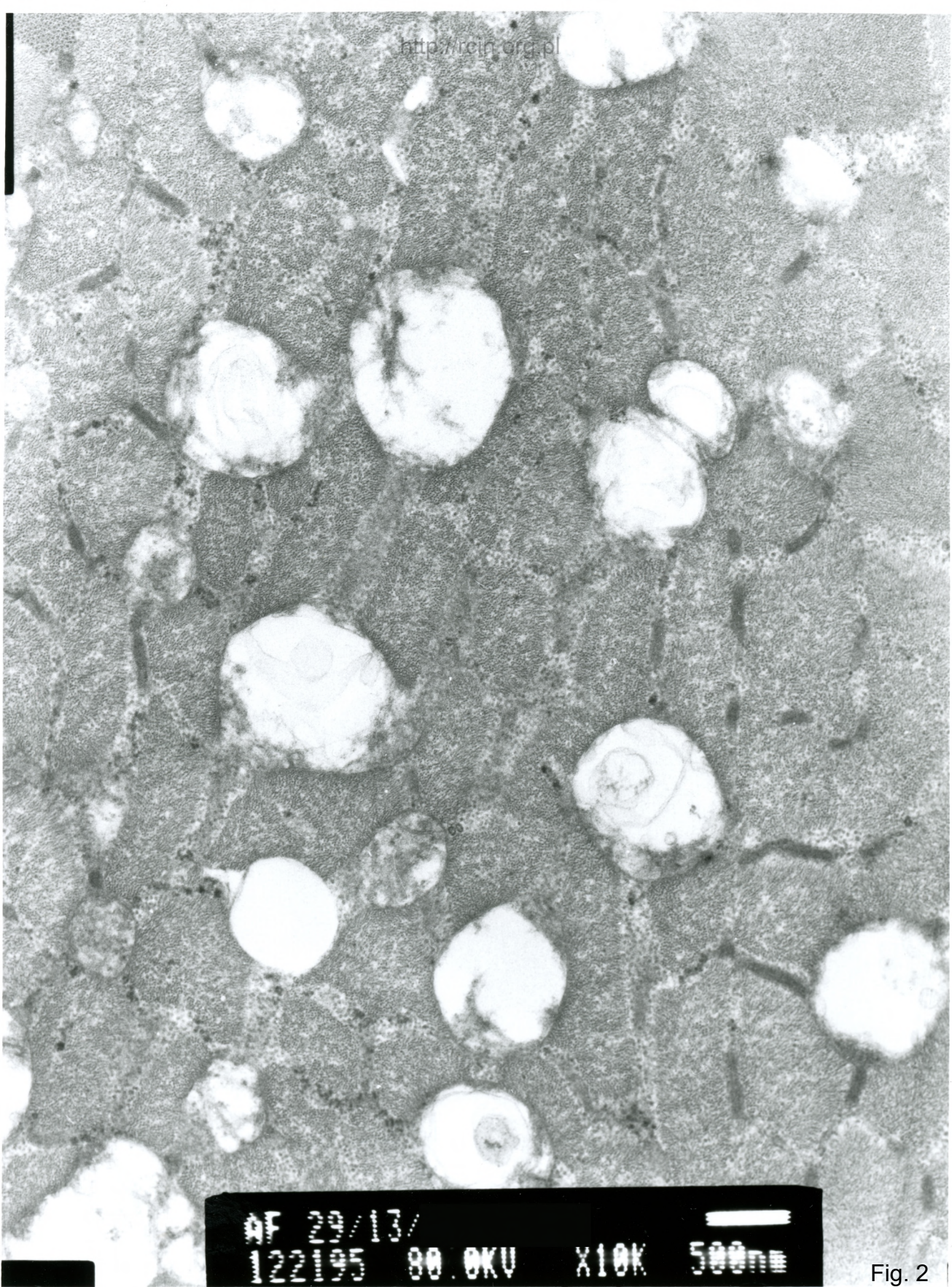
### Summary

An 32-year-old patient with suspected myopathy was examined. A biopsy of quadriceps sinister was performed. Ultrastructural assessment showed morphological changes within mitochondria characterized by cristae defects (Figs. 1-5). Myelin-like bodies were present in some mitochondria (Figures 6-7).



AF 29/13/  
122005 80.0KV X3000 2µm

Fig. 1



AF 29/13/  
122195 80.0KV X10K 500nm

Fig. 2



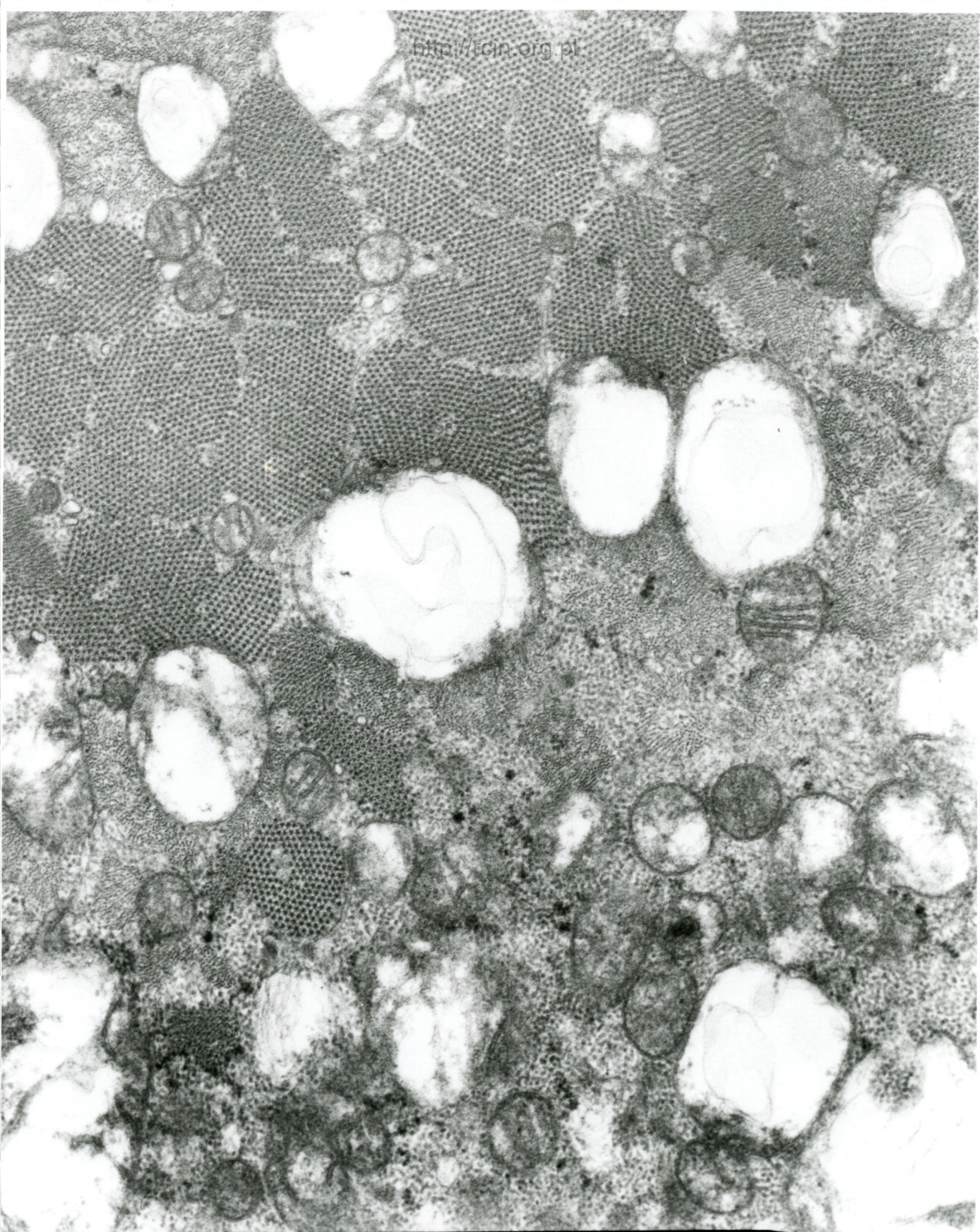
AF 29/13/  
122004 80 KVU X20K 200nm

Fig. 3



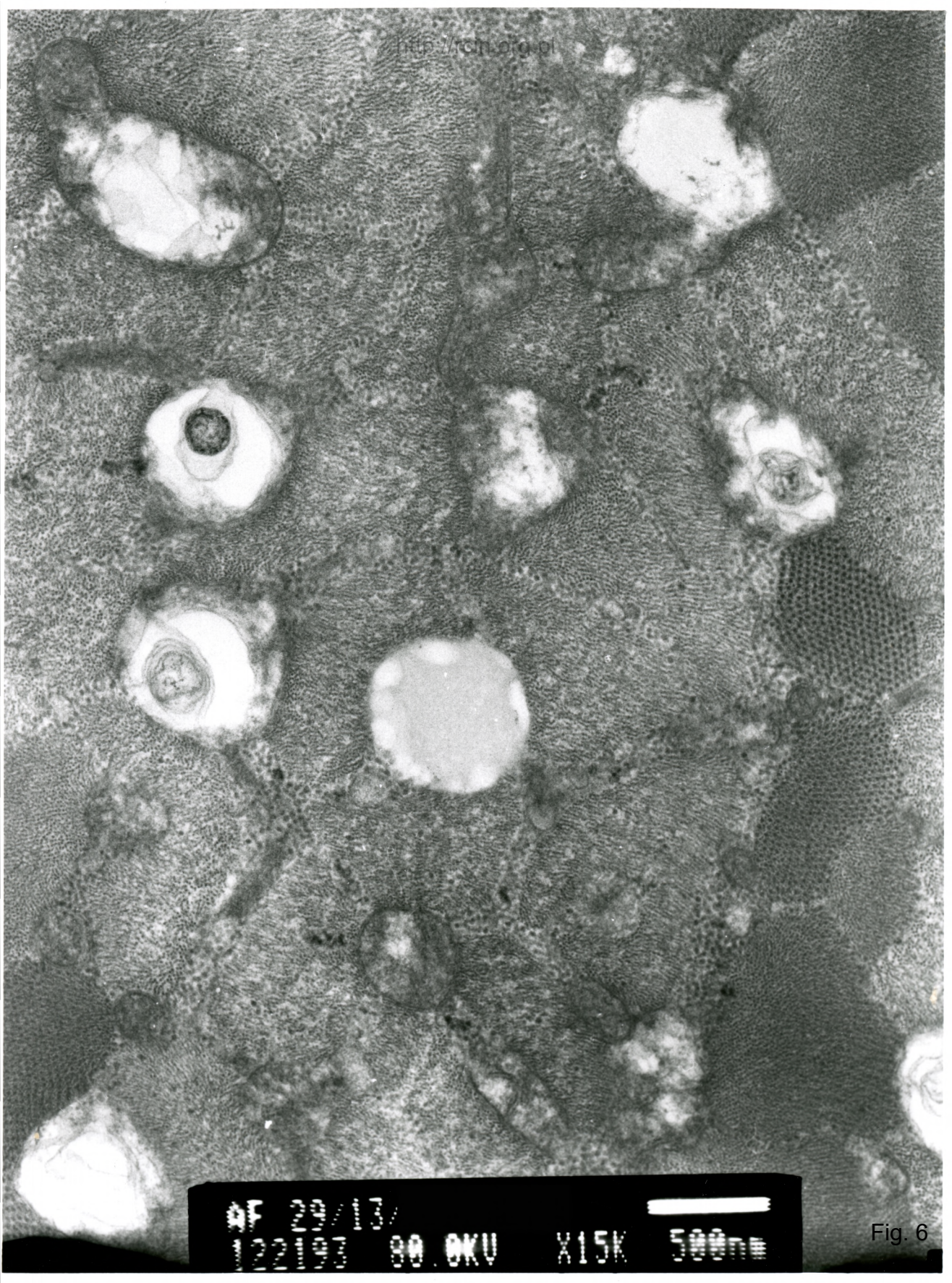
AF 29/13/  
122007 00 OVU X15K 500nm

Fig. 4



AF 29/13/  
122006 00 OKU X12K 500nm

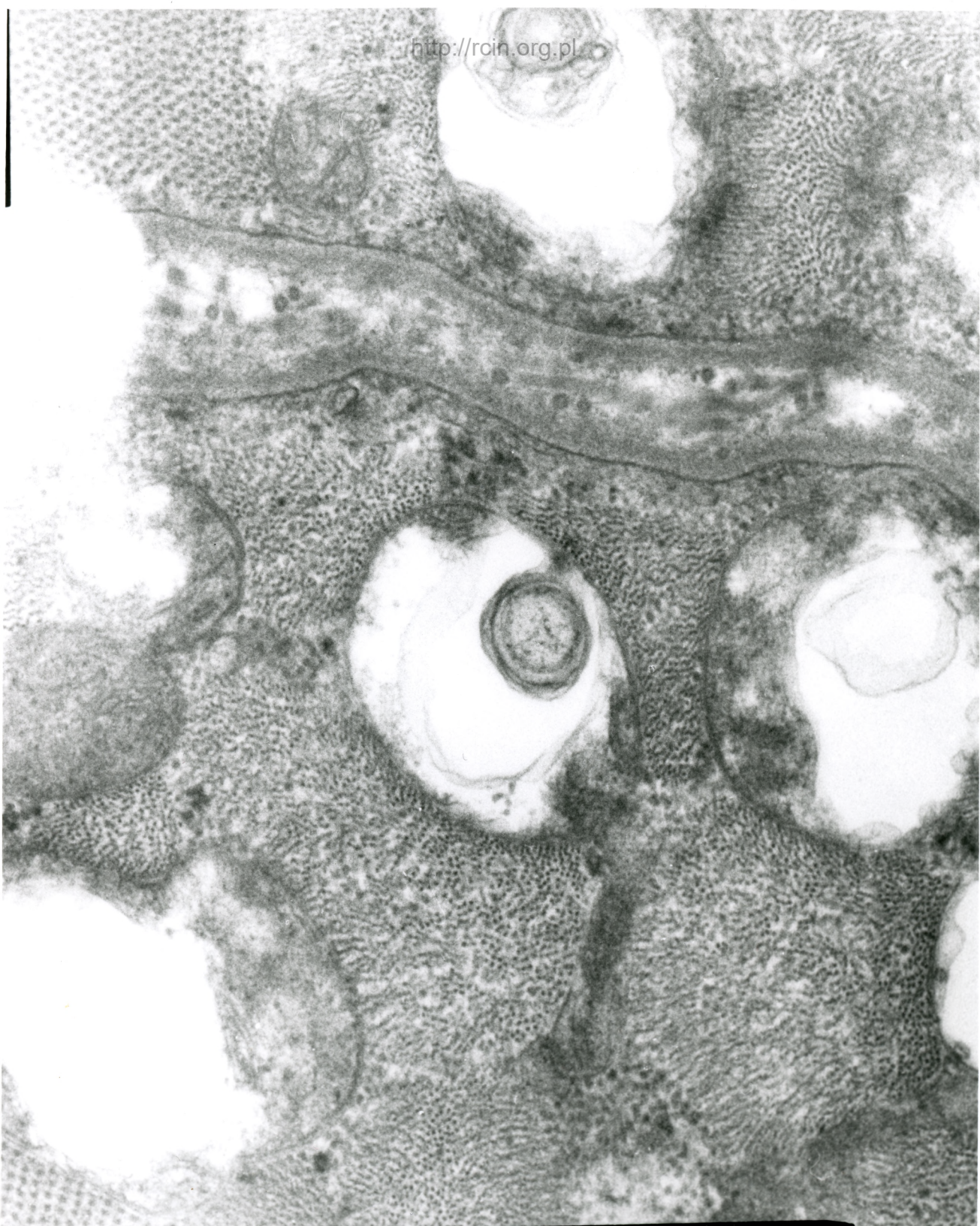
Fig. 5



AF 20/13/  
122193 80.0KV X15K 500nm

Fig. 6





AF 29/13/  
122194 80.0KV X25K 200nm

Fig. 7